

Elektronenstreuung an ^{40}Ca

$$q = 2 \text{ fm}^{-1} \triangleq 400 \text{ MeV/c}$$

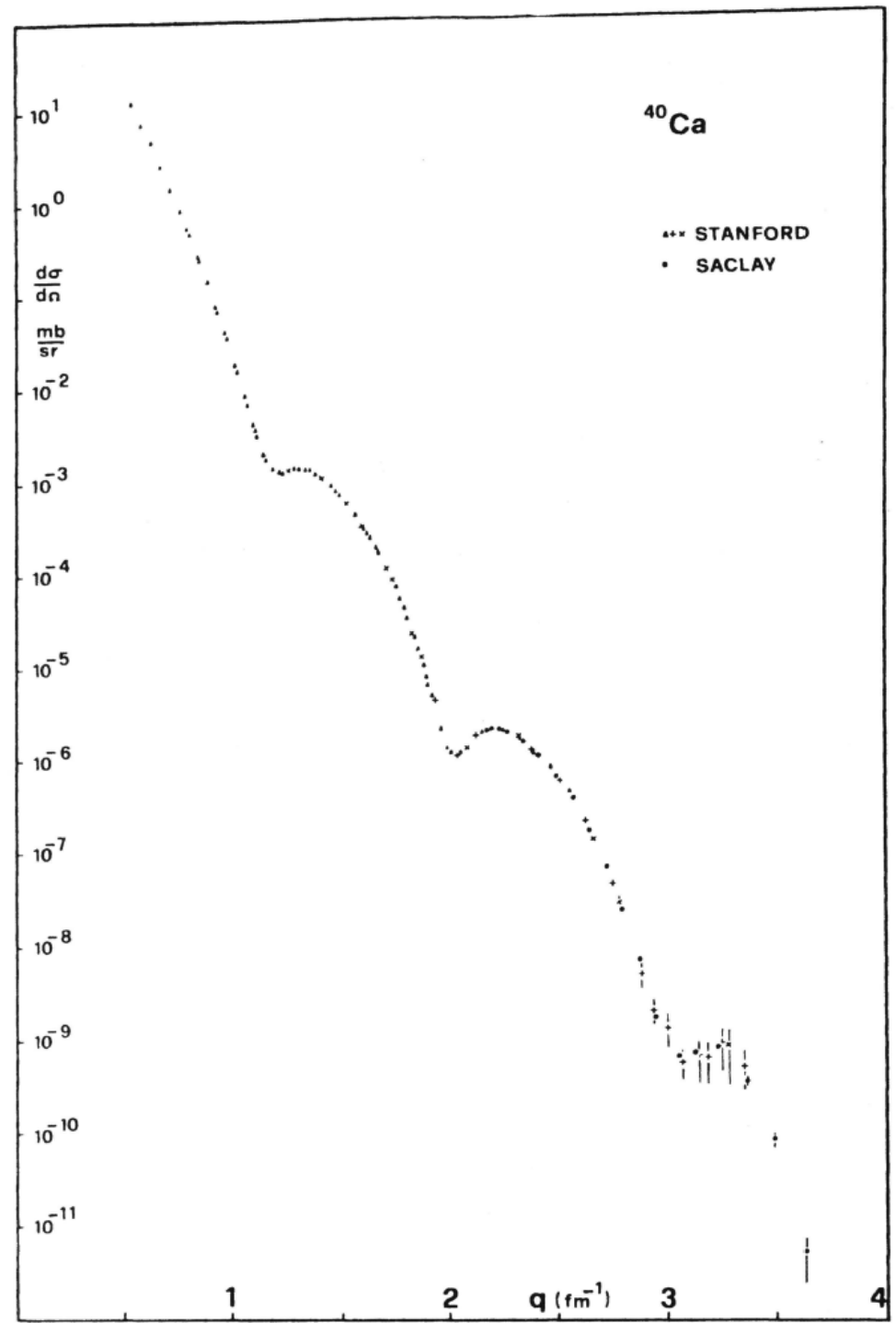


Fig. 6-1

Ladungsdichteveilungen in Atomkernen aus elastischer Elektronenstreuung

Unsicherheit im Inneren:
ca 10 %

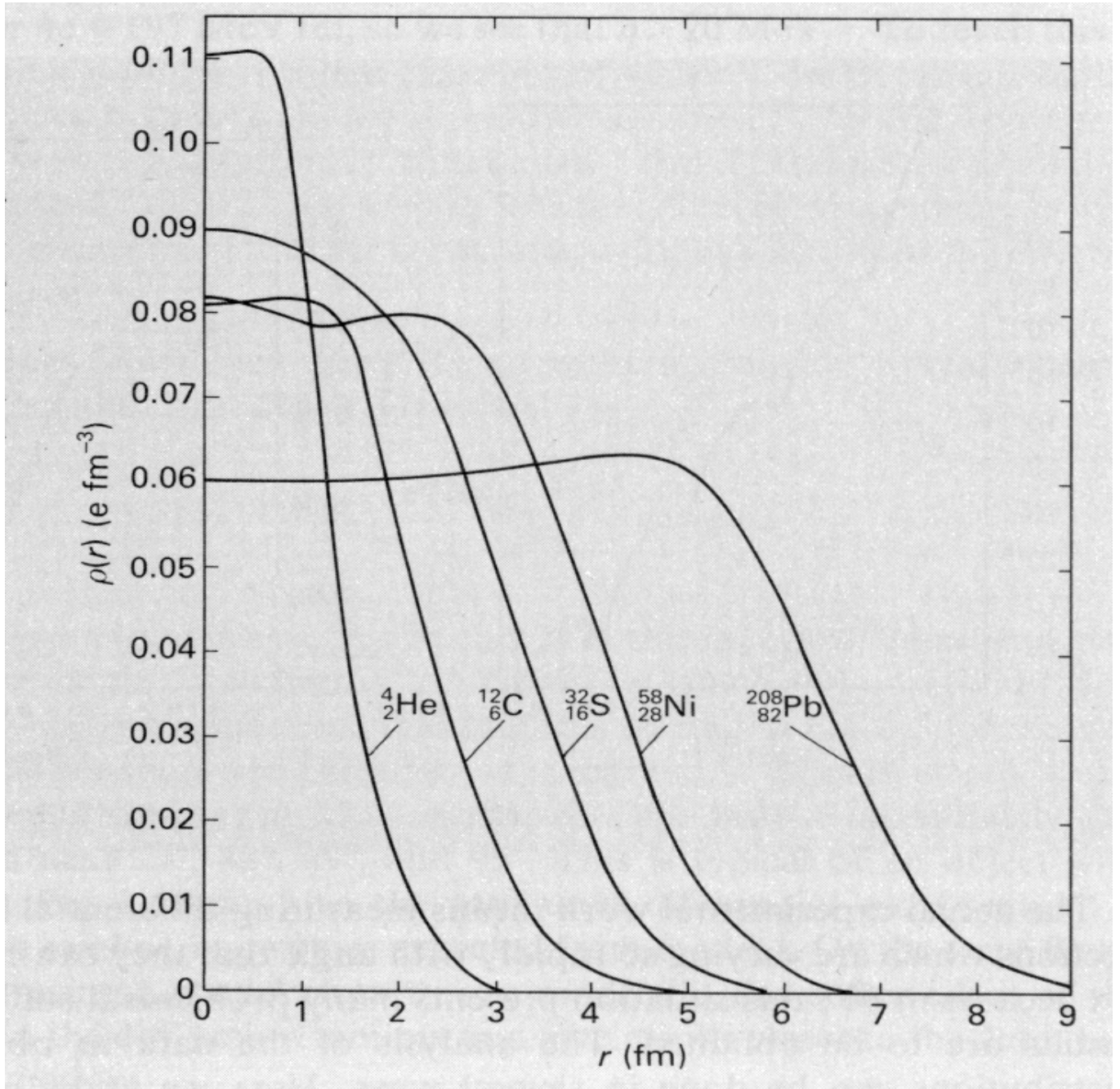


Fig. 6-2

Elektronenstreuung am Nukleon

	G_E	G_M
Mott	1	0
Dirac	1	1
(anomalous)	1	2.79

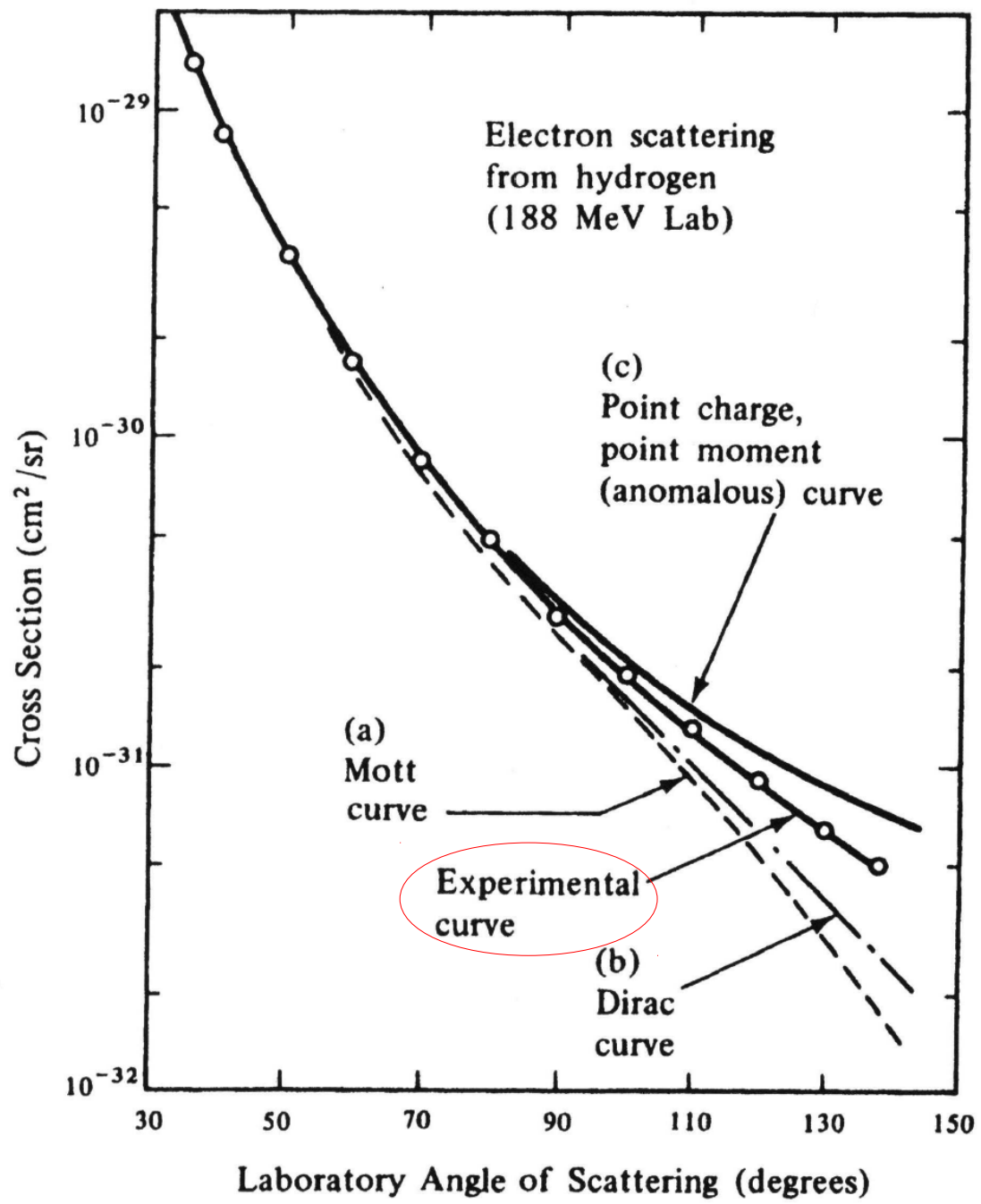


Fig. 6-3

Trennung von elektrischem und magnetischem Formfaktor durch Rosenbluth Separation

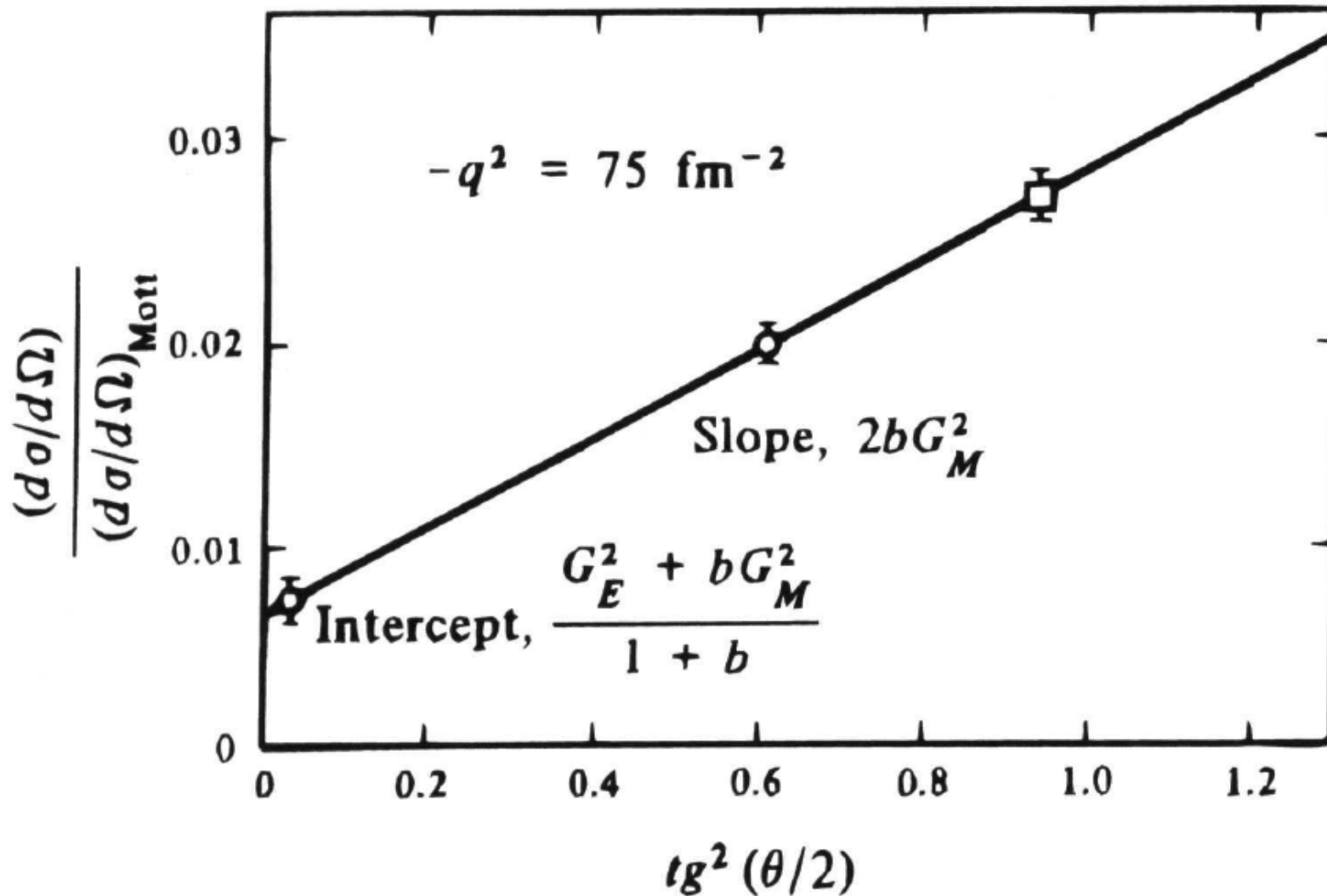


Fig. 6-4

Proton Radius aus Spektroskopie an myonischem Wasserstoff

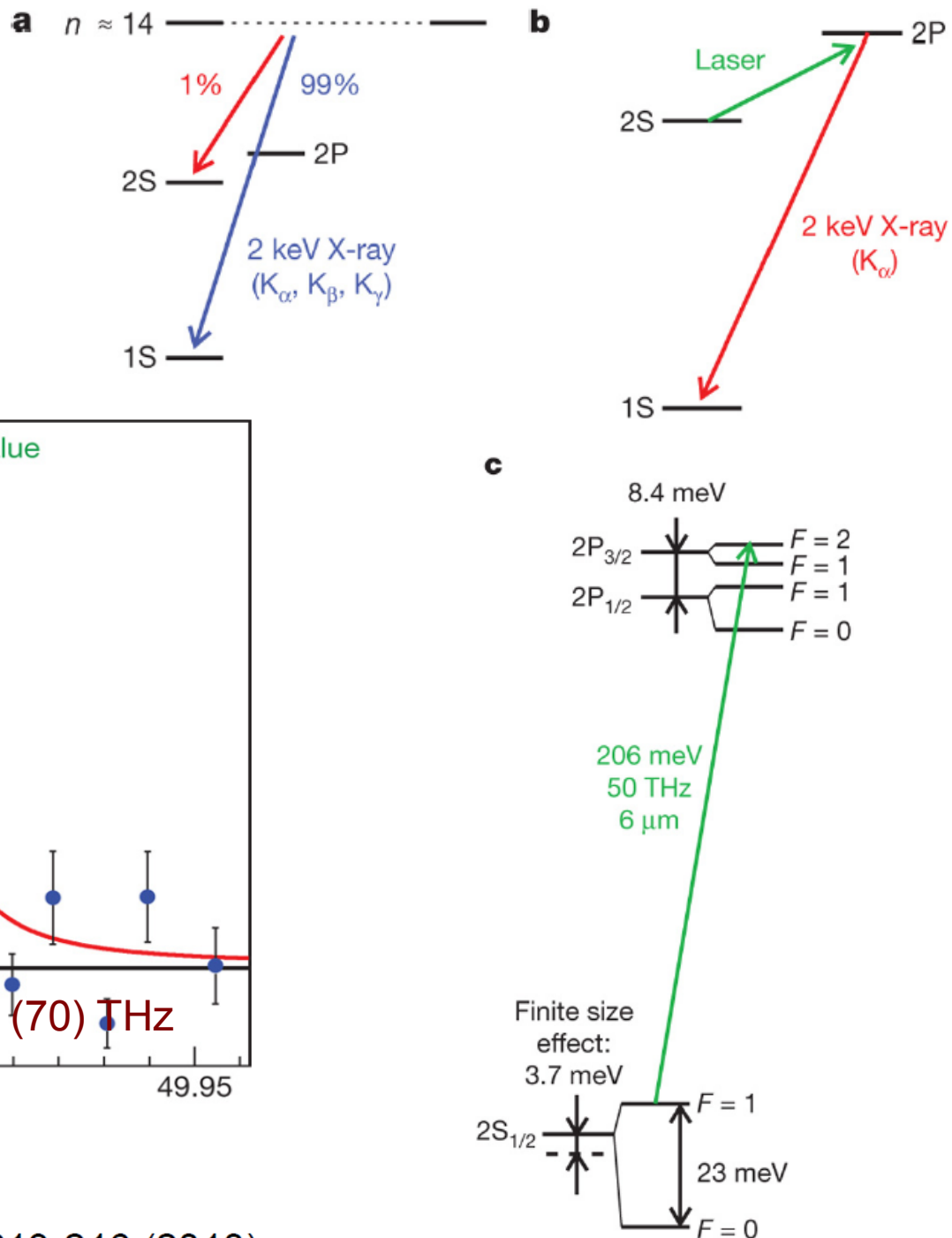
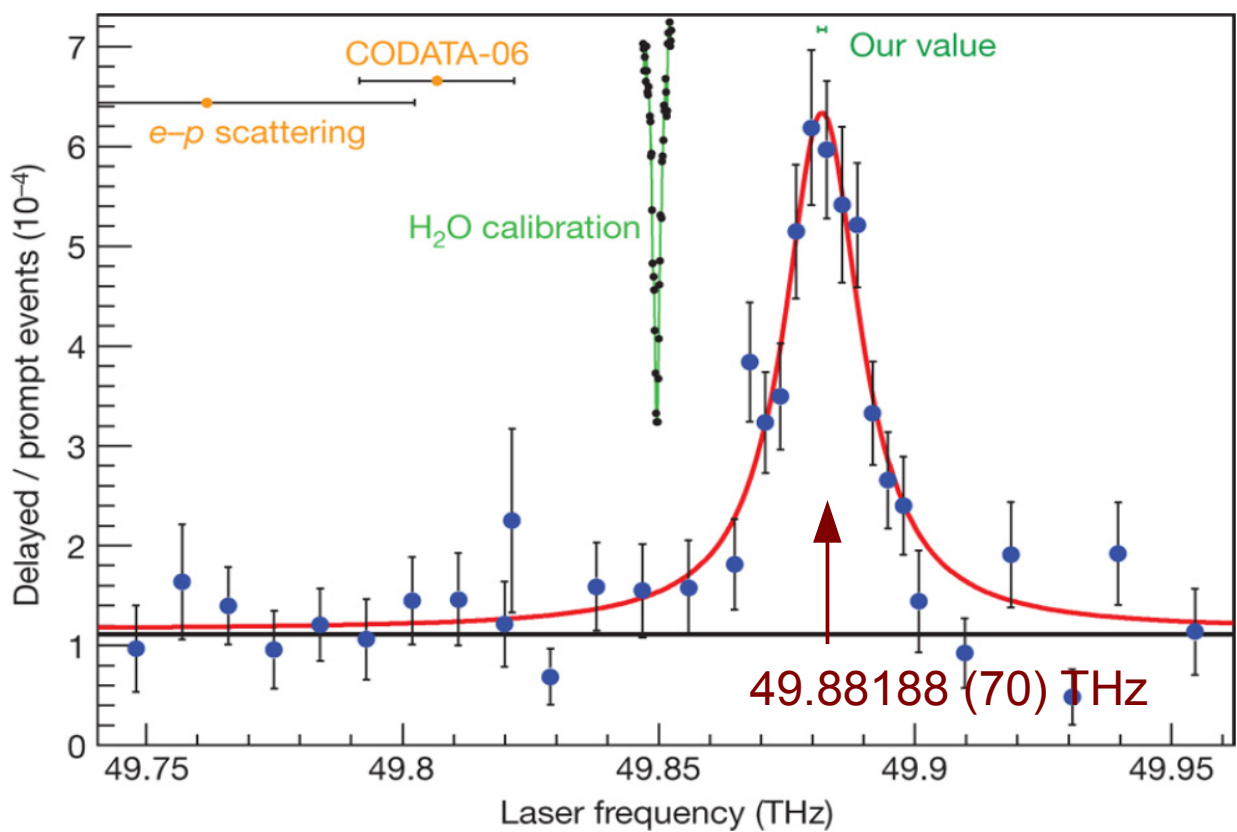
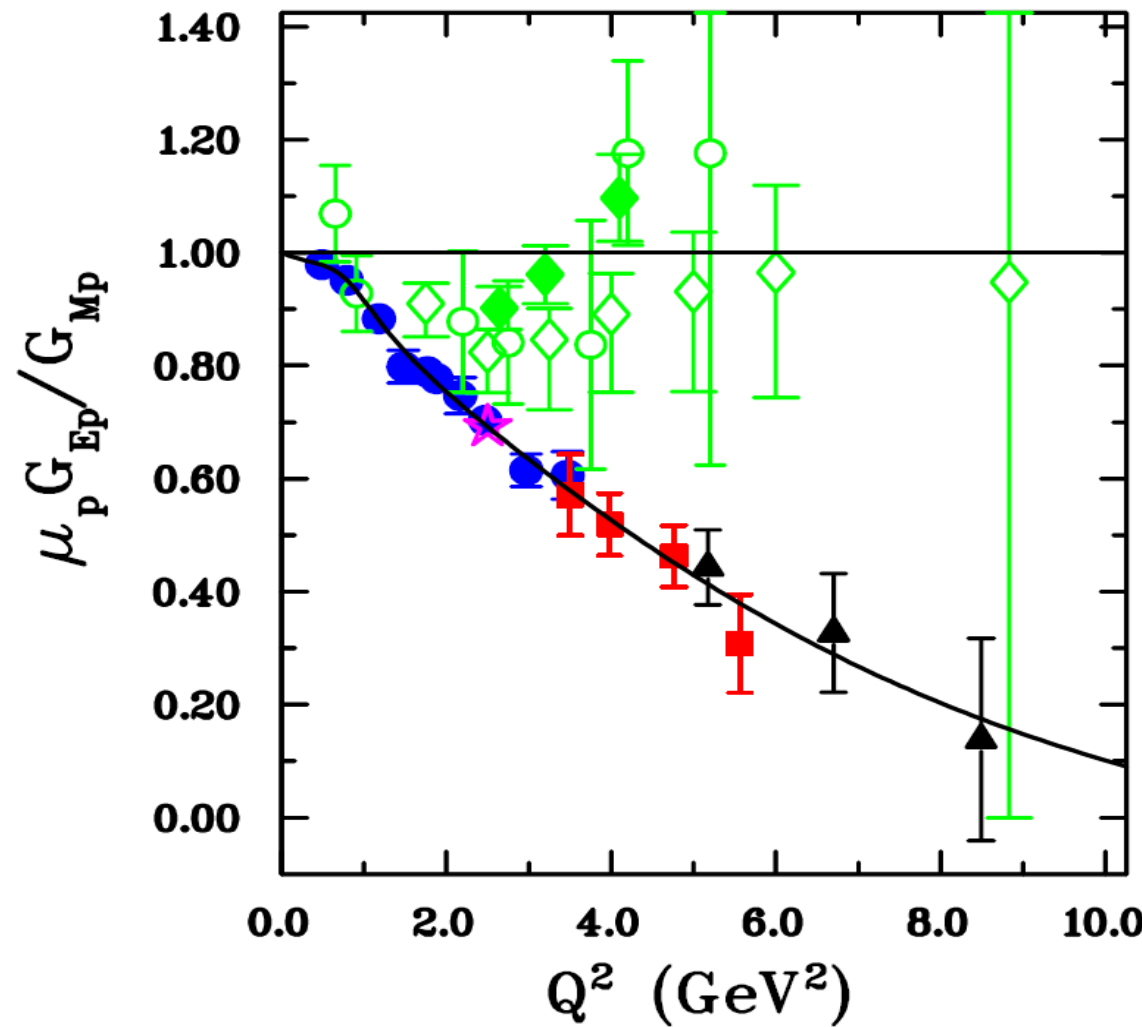


Fig. 6-4a

R Pohl et al. Nature 466, 213-216 (2010)

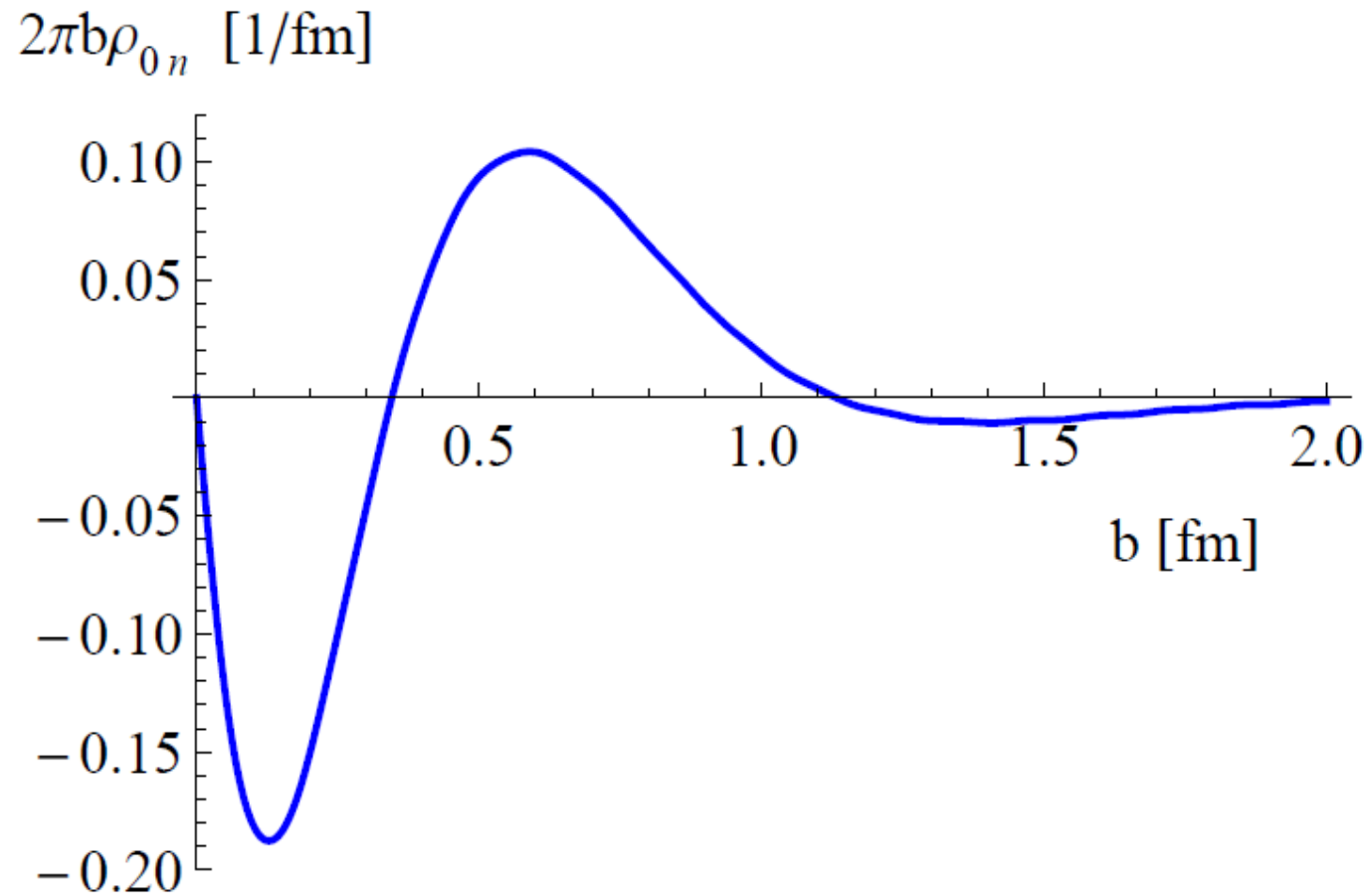
Elektrischer und magnetischer Formfaktor des Proton aus Rückstosspolarisationstransfer



Fehlschlag
Rosenbluthanalyse (grün)
bei grossem q^2

Fig. 6-5

Ladungsdichteverteilung des Neutrons



2 dim Ladungsdichteverteilung in Ebene senkrecht zu Bewegung des Neutrons als Funktion des Abstands vom Zentrum des CM

Fig. 6-6

The Structure of the Nucleon: Elastic Electromagnetic Form Factors

Eur. Phys. J. A51 (2015) 79

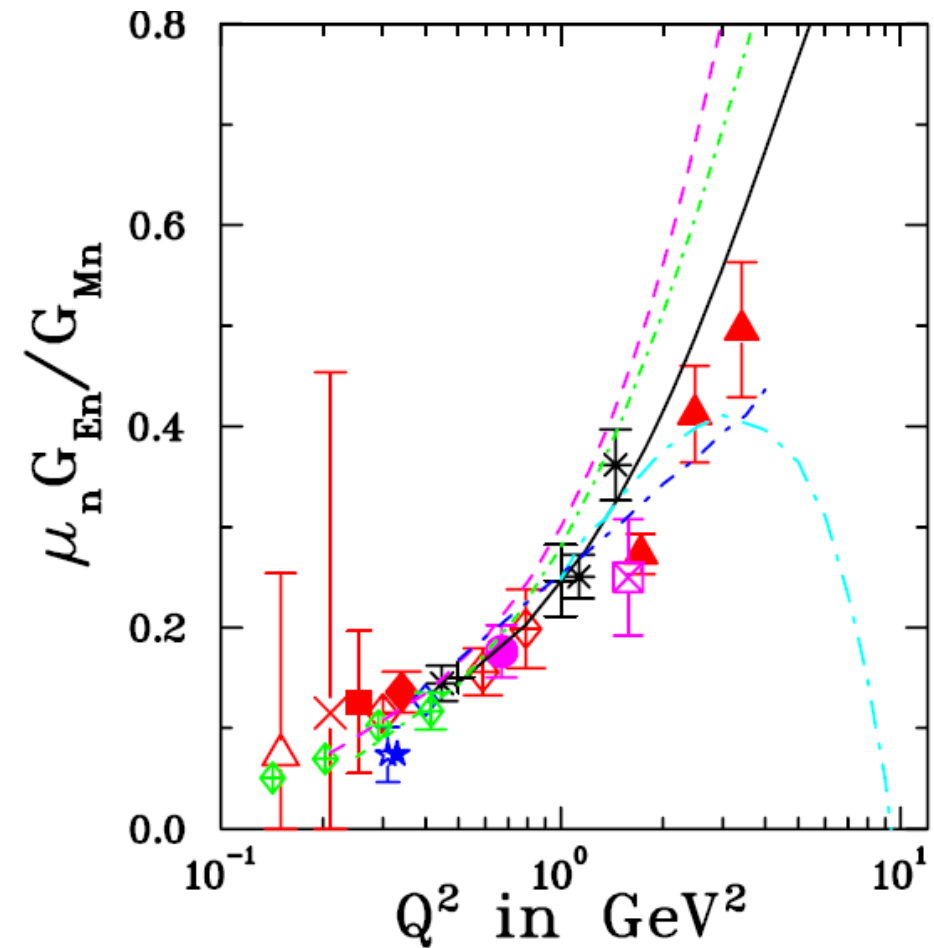
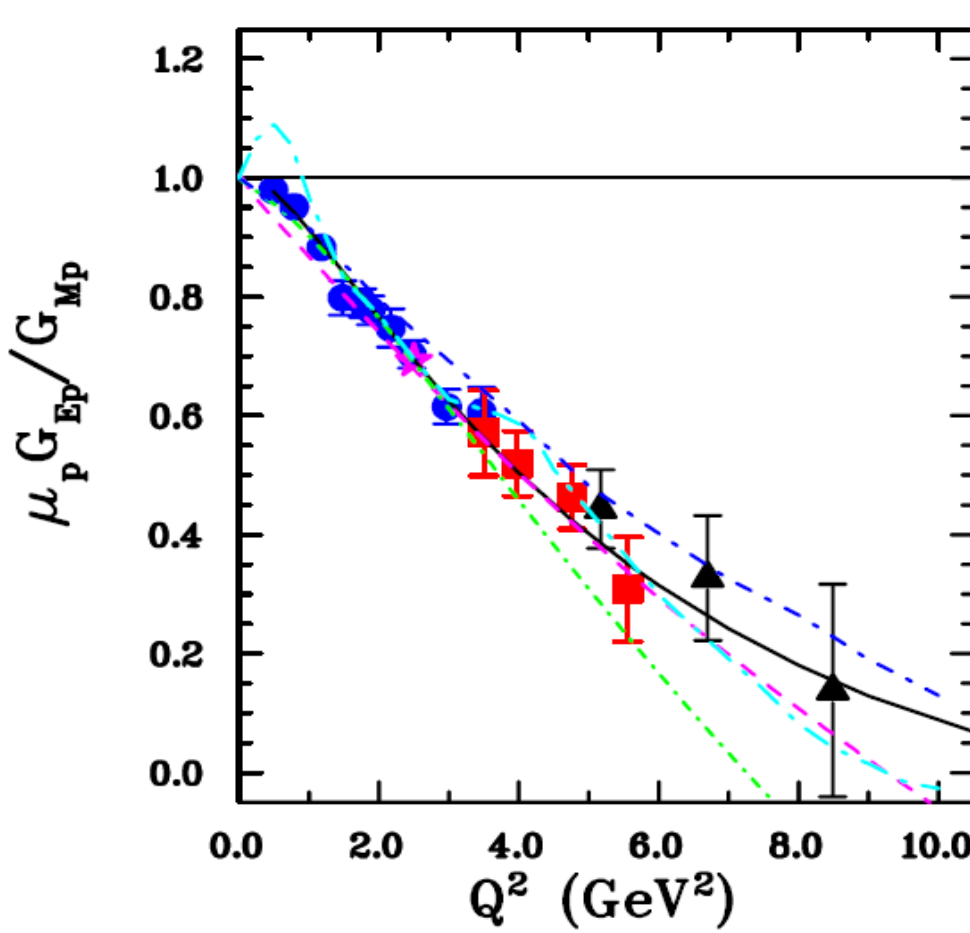
V. Punjabi¹, C.F. Perdrisat², M.K. Jones³, E.J. Brash^{3,4}, and C.E. Carlson²

¹ Norfolk State University, Norfolk, VA 23504, USA

² The College of William & Mary, Williamsburg, VA 23187, USA

³ Thomas Jefferson National Accelerator Facility, Newport News, VA 23606, USA

⁴ Christopher Newport University, Newport News, VA 23606, USA



elektrische und magnetische Formfaktoren des Protons und Neutrons ueber grossen Bereich von q^2 erlauben sensitive Tests verschiedener Modelle des Nukleons

Fig. 6-7